

## ДИНАМИКА РЕШЕТКИ И ФАЗОВЫЕ ПЕРЕХОДЫ

УДК 537.94

### РАЗМЕРНЫЕ ЭФФЕКТЫ В КРИСТАЛЛАХ $[N(CH_3)_4]_2Zn_{0.58}Cu_{0.42}Cl_4$

© 2013 г. С. А. Свеба, И. В. Карпа, И. Н. Катеринчук, Ю. М. Фургала, О. В. Семотюк,  
И. М. Куньо, Е. И. Фищич, Ю. И. Панківский\*

Львовский национальный университет, Украина

E-mail: kno@electronics.wups.lviv.ua

\* Национальный лесотехнический университет Украины, Львов

Поступила в редакцию 29.08.2011 г.

Исследованы температурные зависимости двулучепреломления в тонких кристаллах  $[N(CH_3)_4]_2Zn_{0.58}Cu_{0.42}Cl_4$  в интервале толщин  $20 \times 10^{-6} \leq d \leq 500 \times 10^{-6}$  м. Обнаружено повышение температур фазовых переходов: исходная – несоразмерная ( $T_i$ ) и несоразмерная – сегнетоэлектрическая ( $T_c$ ) фаза. Обсуждаются причины смещения температур фазовых переходов при уменьшении толщины кристалла  $[N(CH_3)_4]_2Zn_{0.58}Cu_{0.42}Cl_4$ , и наличие размерного эффекта в кристаллах с несоразмерной сверхструктурой.

DOI: 10.7868/S0023476113010165

### ВВЕДЕНИЕ

В настоящее время имеется небольшое число работ, посвященных исследованию несоразмерных структур в малых образцах [1–4]. Теоретические аспекты рассматривались в [1–3], где, в частности, было показано, что граничные условия влияют на температуру перехода в несоразмерную фазу.

Задача настоящей работы заключается в экспериментальном исследовании влияния размера образца и граничных условий на длиннопериодическую (соразмерную или несоразмерную) модулированную структуру и фазовые переходы в кристаллах с несоразмерной сверхструктурой.

В работе исследовано влияние толщины кристалла  $[N(CH_3)_4]_2Zn_{0.58}Cu_{0.42}Cl_4$  на температурное поведение двулучепреломления  $\delta(\Delta n)$  вдоль осей несоразмерной модуляции  $\mathbf{c}$  и спонтанной поляризации (ось  $\mathbf{a}$ ).

Поскольку исследуемое двулучепреломление существует в исходной симметричной фазе, его величина линейно связана с инвариантными (относительной преобразований симметрии этой фазы) комбинациями компонент параметра порядка [5, 6]. Естественно, наибольшую роль играют инвариантные низших порядков. Так, аномалии  $\delta(\Delta n)$  в несоразмерной фазе определяются линейной зависимостью  $\delta(\Delta n)$  от квадрата амплитуды модуляции (скалярного квадрата параметра порядка, отвечающего переходу исходная–несоразмерная фаза).

В качестве исследуемых объектов выбраны кристаллы  $[N(CH_3)_4]_2Zn_{0.58}Cu_{0.42}Cl_4$ , поскольку замещение иона Zn на Cu приводит к подавлению сегнетоэлектрического кристалла  $[N(CH_3)_4]_2ZnCl_4$ . Элементарная ячейка в исходной фазе кристаллов

$[N(CH_3)_4]_2ZnCl_4$  состоит из четырех формульных единиц. Для устранения возможности образования в кристалле кратности замещения иона  $Zn^{+2}$  на ион  $Cu^{+2}$  количество меди в растворе выбиралось, не равное 25, 50 и 75%. Как известно [7], кратность замещения приводит к возникновению нелинейного поведения  $\delta(\Delta n)$  в исходной фазе.

Зависимость свойств тонкой пленки от ее толщины (размерный эффект) можно объяснить влиянием двух факторов: корреляционными эффектами и механическими напряжениями, зависящими и от размеров пленки. Особенности свойств пленок с несоразмерными фазами обусловлены следующими эффектами. Вблизи точки фазового перехода исходная–несоразмерная фаза структура несоразмерной фазы близка к синусоидальной. Искажения ее структуры, обусловленные, в частности, наличием границ, распространяются на весь кристалл, поскольку можно считать, что, по крайней мере, идеальный (без дефектов в объеме) кристалл не обладает жесткостью по отношению к искажениям, отвечающим изменению фазы параметра порядка (в реальной ситуации возникают вопросы, связанные с пиннингом фазы волны модуляции на дефектах). Вблизи перехода несоразмерная–соразмерная фаза модуляции структуры часто может рассматриваться в подобной решетке солитонов (доменных стенок). При этом средний по объему квадрат амплитуды модуляции, а значит и величина  $\delta(\Delta n)$  существенным образом зависит от плотности солитонов.

Кристаллы  $[N(CH_3)_4]_2ZnCl_4$  принадлежат семейству кристаллов  $A_2BX_4$  и характеризуются сложной последовательностью фазовых переходов

дов, включая несоразмерную фазу. Согласно рентгеноструктурным исследованиям [8], в исходной фазе кристаллы обладают пр. гр.  $D_{2h}^{16}$ , параметры кристаллической решетки:  $a = 8.998$ ,  $b = 15.545$ ,  $c = 12.275$  Å. При понижении температуры кристаллы  $[\text{N(CH}_3)_4]_2\text{ZnCl}_4$  испытывают следующие фазовые переходы: исходная – несоразмерная фаза ( $T_i = 296.6$  К), несоразмерная – соразмерная сегнетоэлектрическая фаза ( $T_c = 280$  К,  $\mathbf{P}_s \parallel \mathbf{a}$ ), сегнетоэлектрическая – сегнетоэластическая фаза ( $T_3 = 276$  К).

Возникающая при  $T_i = 296.6$  К фаза, модулированная вдоль оси **c**, характеризуется волновым вектором  $\mathbf{q} = (2/5 + \delta)c^*$ . Период длиннопериодической несоразмерной модуляции определяется величиной  $\delta = 0.023$ .

В кристаллах  $[\text{N(CH}_3)_4]_2\text{CuCl}_4$  соразмерная ( $P2_1cn$  ( $C_{2v}^9$ )) сегнетоэлектрическая фаза отсутствует [9] и наблюдается фазовый переход из несоразмерной в сегнетоэластическую фазу ( $T_c = 291$  К).

Кристаллы  $[\text{N(CH}_3)_4]_2\text{Zn}_{0.58}\text{Cu}_{0.42}\text{Cl}_4$  выращивались из водного раствора солей  $[\text{N(CH}_3)_4]\text{Cl}$  и  $\text{ZnCl}_2$ ,  $\text{CuCl}_2$ , взятых в стехиометрическом соотношении при комнатной температуре.

Выращенные кристаллы  $[\text{N(CH}_3)_4]_2\text{Zn}_{0.58}\text{Cu}_{0.42}\text{Cl}_4$  имели желтоватый оттенок с хорошо развитой кристаллической огранкой, которая соответствует кристаллу  $[\text{N(CH}_3)_4]_2\text{ZnCl}_4$ . Зависимости температур фазовых переходов от размеров кристаллов вдоль осей **a** и **c** ( $d_c$ ,  $d_a$ )  $[\text{N(CH}_3)_4]_2\text{Zn}_{0.58}\text{Cu}_{0.42}\text{Cl}_4$  определялись из температурных зависимостей двулучепреломления  $\delta(\Delta n_a)$ ,  $\delta(\Delta n_c)$  и остаточной интенсивности.

## МЕТОДИКА ИЗМЕРЕНИЙ

Исследования прироста линейного двулучепреломления ( $\delta(\Delta n)$ ) осуществлялись методом Сенармона с использованием автоматизированной установки с модуляцией оптического сигнала [10] на длине волны  $\lambda = 633$  нм. Температура исследуемых образцов измерялась с точностью  $\pm 0.1$  К при помощи автоматизированной системы [10]. Скорость изменения температуры  $\sim 5$  К/ч.

Толщина образцов измерялась оптическим поляризационным микроскопом с точностью  $\pm 5$  мкм. Плоскопаралельность обеспечивалась шлифованием и полированием образцов, приклеенных к стеклянной подкладке. Поскольку исследуемые кристаллы являются гигроскопичными, уменьшение толщины исследуемых образцов осуществлялось шлифовкой кристалла на влажной основе.

## ЭКСПЕРИМЕНТАЛЬНЫЕ РЕЗУЛЬТАТЫ

На рис. 1 приведена температурная зависимость  $\delta(\Delta n_a)$  для кристалла  $[\text{N(CH}_3)_4]_2\text{Zn}_{0.58}\text{Cu}_{0.42}\text{Cl}_4$  при разных значениях толщины  $d_a$  образца (остальные размеры ( $d_b$ ,  $d_c$ ) оставались постоянными и равны  $\sim 4$ – $5$  мм). Для  $d_a \approx 1500$  мкм из зависимостей  $\delta(\Delta n_a) \sim f(T)$ , полученных в процессе нагрева, определены соответствующие температуры фазовых переходов:  $T_i = 296.6$ ,  $T_c = 277.3$ ,  $T_3 = 274.6$  К. Видно, что замещение ионов  $\text{Zn}^{2+}$  на  $\text{Cu}^{2+}$  сопровождается понижением температур фазовых переходов ( $\Delta T_c = -2.7$ ,  $\Delta T_3 = -1.4$  К), сужая температурный интервал существования сегнетоэлектрической фазы на 1.3 К. Температура ( $T_i = 296.6$  К), при которой происходит фазовый переход исходная–несоразмерная фаза, практически остается неизменной. С уменьшением размеров образца ( $33 \leq d_a \leq 500$  мкм) температура ( $T_c = 277.3$  К при охлаждении) фазового перехода несоразмерная–соразмерная сегнетоэлектрическая фаза повышается со скоростью  $dT_c/d(d_a) \approx 0.033$  К/мкм. За счет незначительного уменьшения температуры фазового перехода сегнетоэлектрическая–сегнетоэластическая фаза ( $T_3 = 274.6$  К при понижении температуры,  $dT_3/d(d_a) \approx -0.0034$  К/мкм) при уменьшении толщины образца происходит увеличение температурного интервала сегнетоэлектрической фазы со скоростью  $d(\Delta T)/d(d_a) \approx 0.042$  К/мкм. При  $d_a = 33$  мкм температурный интервал существования сегнетоэлектрической фазы составил  $\sim 19.54$  К (для сравнения при  $d_a > 500$  мкм это  $\sim 3$ – $3.5$  К для кристалла  $[\text{N(CH}_3)_4]_2\text{ZnCl}_4$  [8]), т.е. при уменьшении толщины образца  $d_a$  ( $d_a < 500$  мкм) наблюдается сужение температурного интервала существования несоразмерной фазы за счет сдвига температуры фазового перехода  $T_c$  в сторону более высоких температур (рис. 2а). Аналогичная зависимость наблюдается и в процессе нагрева. Из зависимостей  $\delta(\Delta n_a) \sim f(T)$ , измеренных в процессе охлаждения (рис. 1а) и нагрева (рис. 1б), видно, что при  $d < 300$  мкм в окрестности фазового перехода  $T_i$  наблюдается существенный температурный гистерезис. Одной из причин которого в синусоидальном режиме может являться образование состояний с локализацией волнового вектора сверхструктуры на соразмерных значениях. Поскольку в таких фазах возможно появление спонтанных деформаций [11], вызывающих поворот оптической индикатрисы и, как следствие, увеличение остаточной интенсивности [10], исследовано температурное поведение остаточной интенсивности.

На рис. 2 представлены температурные зависимости остаточной интенсивности ( $I_{\text{ост}}$ ), полученные в процессе охлаждения и нагрева при раз-

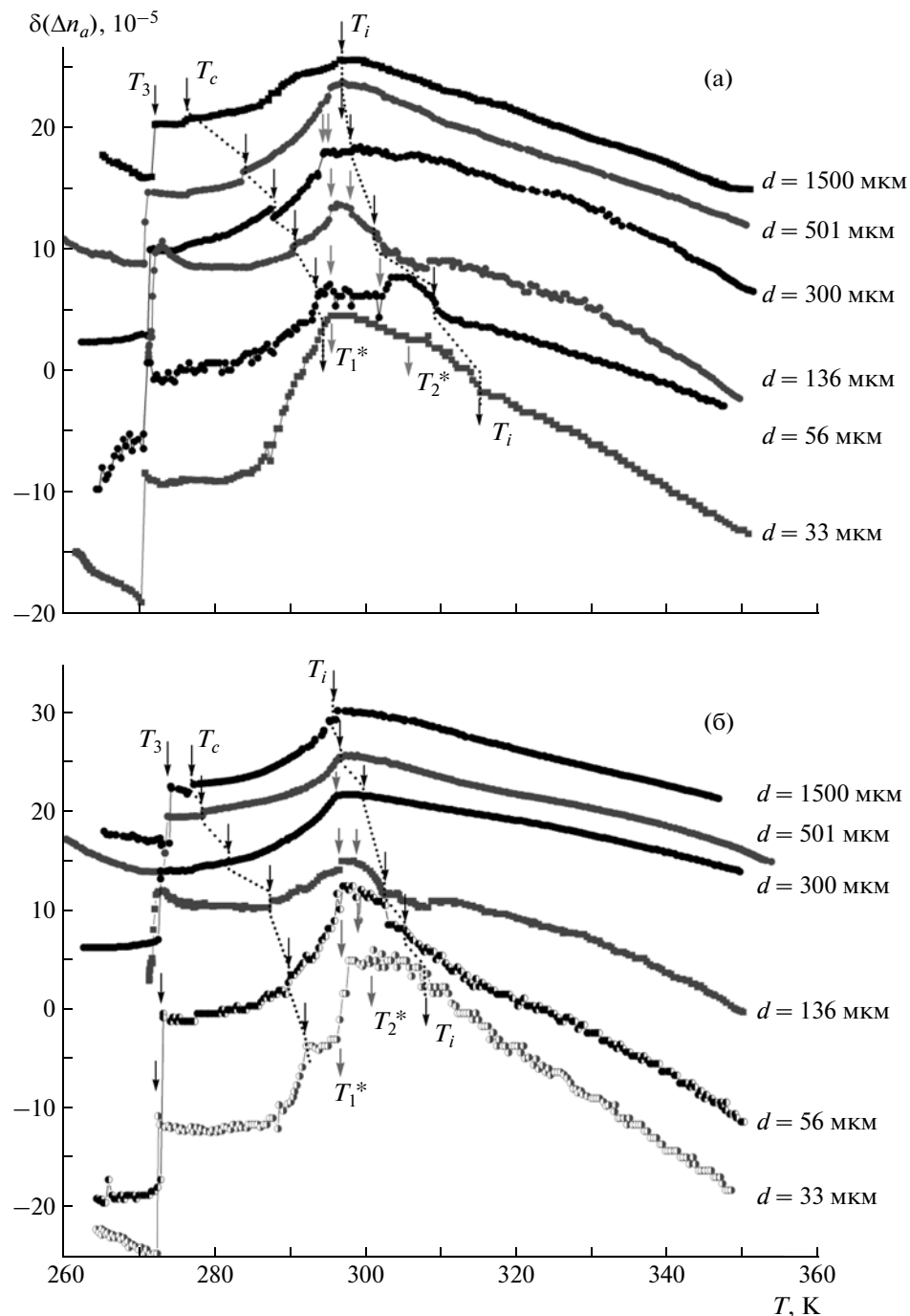


Рис. 1. Температурная зависимость  $\delta(\Delta n_a)$ , измеренная при охлаждении (а) и нагревании (б), при разных значениях толщины образца  $d_a$  для кристалла  $[N(CH_3)_4]_2Zn_{0.58}Cu_{0.42}Cl_4$ .

ных значениях  $d_a$ . При  $d < 100$  мкм наблюдается аномальное увеличение  $I_{\text{ост}}$  в окрестности  $T_i$  со стороны исходной фазы. Согласно рис. 2, если для зависимости  $I_{\text{ост}} \sim f(T)$ , снятой в процессе охлаждения, температурный интервал аномального поведения  $I_{\text{ост}}$  с уменьшением толщины образца кристалла возрастает, то при нагреве ее температурный интервал приблизительно в 3 раза

больше (при  $d = 56$  мкм) и уменьшается с уменьшением величины  $d_a$ .

Наличие поворота оптической индикатрисы может свидетельствовать о возникновении длиннопериодической соразмерной фазы. Исходя из подробных экспериментальных исследований температурной зависимости волнового вектора несоразмерности для кристалла  $(N(CH_3)_4)_2ZnCl_4$ ,

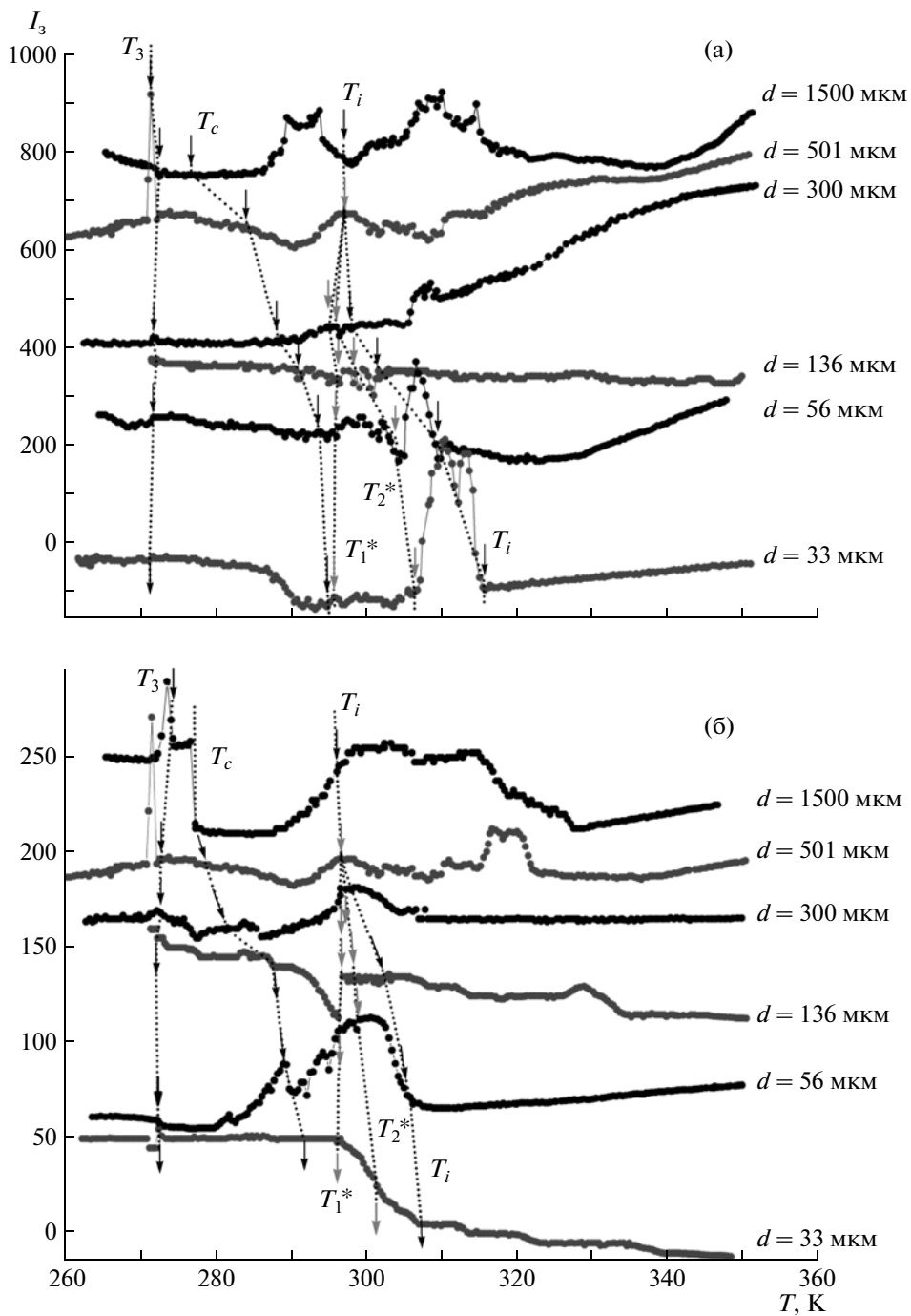


Рис. 2. Температурная зависимость остаточной интенсивности, измеренная в процессе охлаждения (а) и нагревания (б) при разных значениях толщины образца  $d_a$  для кристалла  $[N(CH_3)_4]_2Zn_{0.58}Cu_{0.42}Cl_4$ .

выполненных в [12, 13], установлено, что при  $T \approx 294 \text{ K}$  наблюдается локализация волнового вектора несоразмерности на значении  $\mathbf{q} = 5/12$  [12], а в окрестности  $T_i$  (при  $T \approx 296 \text{ K}$ ) – на значении  $\mathbf{q} = 3/7$  [13]. Исходя из результатов [14], для увеличения температурного интервала существования локализации волнового вектора несоразмерности на значении  $\mathbf{q} = 5/12$  необходимо, чтобы

внешнее воздействие преобразовывалось согласно представлениям  $B_{2u}(y)$  и  $B_{3g}(yz)$  (в скобках указаны компоненты тензора низшего ранга, которые преобразуются по этим представлениям), а для значения  $\mathbf{q} = 3/7$  – согласно представлениям  $Au(x,y,z)$  и  $B_{1g}(xy)$ .

В эксперименте уменьшение толщины кристалла осуществлялось вдоль оси **a**. В то же время

вдоль двух других кристаллографических направлений **в** и **с** вследствие различия коэффициентов линейного удлинения кристалла и клея (подкладки) возникает деформация несоответствия, т.е.  $U_{yz}$ . Поскольку это внешнее воздействие преобразуется по представлению  $B_{3g}(yz)$ , оно приводит к увеличению температурного интервала локализации волнового вектора несогласованности на значении  $\mathbf{q} = 5/12$ . Поэтому естественно предположить, что и в исследуемых кристаллах наблюдаемый поворот оптической индикаторы вдоль оси **а** (рис. 2) также свидетельствует о возникновении соразмерной длиннопериодической фазы со спонтанной деформацией  $U_{yz}$  и локализацией волнового вектора на значении  $\mathbf{q} = 5/12$ .

Принимая во внимание результаты [15, 16], одноосное механическое напряжение  $U_{yy}$  приводит к уменьшению температурного интервала существующей соразмерной сегнетоэлектрической фазы в кристалле  $[N(CH_3)_4]_2ZnCl_4$ . В данном случае при наличии  $U_{yy}$  наблюдается (рис. 3) уширение температурного интервала существования сегнетоэлектрической фазы. Это возможно при условии, когда деформации несоответствия приводят к изменению величины существующей спонтанной поляризации  $P_a$  в кристалле (наличие электрострикционного эффекта [17]).

Вероятно, уменьшение толщины кристалла  $[N(CH_3)_4]_2Zn_{0.58}Cu_{0.42}Cl_4$  может сопровождаться изменением волнового числа, приводя к возникновению новой соразмерной фазы в окрестности  $T_i$ .

Переходя к обсуждению результатов, отметим, что зависящее от толщины кристалла смещение температуры фазового перехода может быть обусловлено конкуренцией двух факторов [18]. С одной стороны, имеет место размерный эффект, который должен приводить к понижению температуры фазового перехода ( $T_c$ ) при уменьшении толщины кристалла; с другой стороны, должен проявиться эффект, вызванный наличием деформаций несоответствия между параметрами элементарных ячеек кристалла и подложки и различием их коэффициента теплового расширения. Как и для пленок титаната бария [19], для исследуемого кристалла  $[N(CH_3)_4]_2Zn_{0.58}Cu_{0.42}Cl_4$  этот эффект (вызванный наличием деформации несоответствия) также может приводить к возрастанию температуры фазового перехода по сравнению с объемным кристаллом. Известно [18], что суммарную деформацию несоответствия для epitаксиальных пленок обычно представляют в виде  $u_m = (a_f - a_s)/a_f + (\gamma_s - \gamma_f)(T - T_g)$ , где  $a_f$  и  $a_s$  – параметры ячейки подложки и пленки соответственно,  $\gamma_s$  и  $\gamma_f$  – их коэффициенты теплового расширения (КТР),  $T_g$  – температура роста (отжига) образца. Поскольку исследуемые образцы

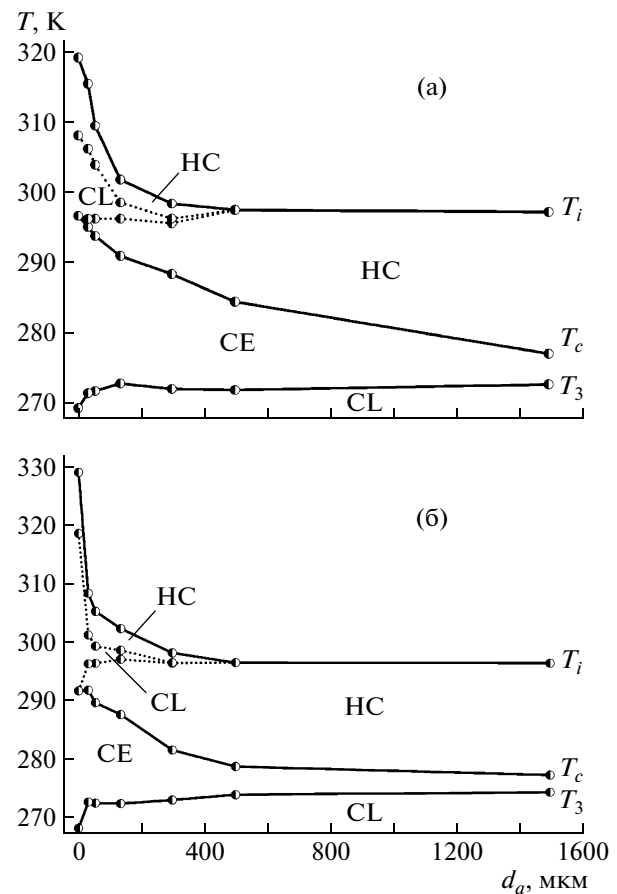
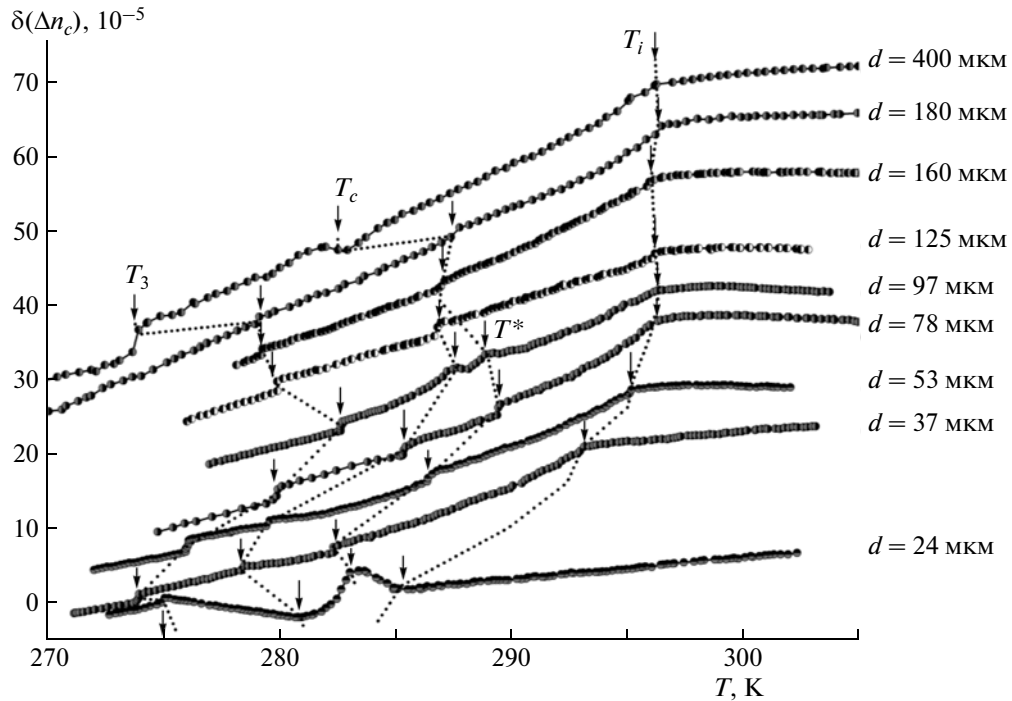


Рис. 3. Фазовая  $d_a$ ,  $T$ -диаграмма состояния кристалла  $[N(CH_3)_4]_2Zn_{0.58}Cu_{0.42}Cl_4$ , полученная из экспериментальных значений температурного поведения двупреломления  $\delta(\Delta n_a)$  при охлаждении (а) и нагревании (б) кристалла.

криスタлла  $[N(CH_3)_4]_2Zn_{0.58}Cu_{0.42}Cl_4$  приклеивались к стеклянной подложке, деформацию рассогласования следует связывать с разницей коэффициентов теплового расширения кристалла и клея. Согласно геометрии эксперимента, вектор поляризации перпендикулярен плоскости пленки (тонкого кристалла). Две другие оси лежат в плоскости кристалла. Коэффициенты теплового расширения кристалла  $[N(CH_3)_4]_2Zn_{0.58}Cu_{0.42}Cl_4$  по аналогии с кристаллом  $[N(CH_3)_4]_2ZnCl_4$  (поскольку КТР для кристаллов  $[N(CH_3)_4]_2MeCl_4$ , где  $Me = Co, Zn, Cu, Mn$  приблизительно равны между собой) равны [20]:  $\gamma_b \approx 2.0 \times 10^{-4} K^{-1}$  и  $\gamma_c \approx 1.2 \times 10^{-4} K^{-1}$  соответственно при  $T = 300$  К, и убывают с уменьшением температуры. В связи с различием КТР кристалла ( $\gamma_b, \gamma_c$ ) и клея  $\gamma_s \approx 8 \times 10^{-5} K^{-1}$  с уменьшением температуры деформация будет “растягивающая”. Рассчитанное значение механического напряжения  $u_2$ , исходя из КТР кристалла и клея, составило  $u_2 \approx 2.2 \times 10^{-3}$ . Как и в [18], можно предположить, что суммарная дефор-



**Рис. 4.** Температурная зависимость  $\delta(\Delta n_c)$  кристалла  $[N(CH_3)_4]_2Zn_{0.58}Cu_{0.42}Cl_4$  при разных значениях толщины образца  $d_c$ .

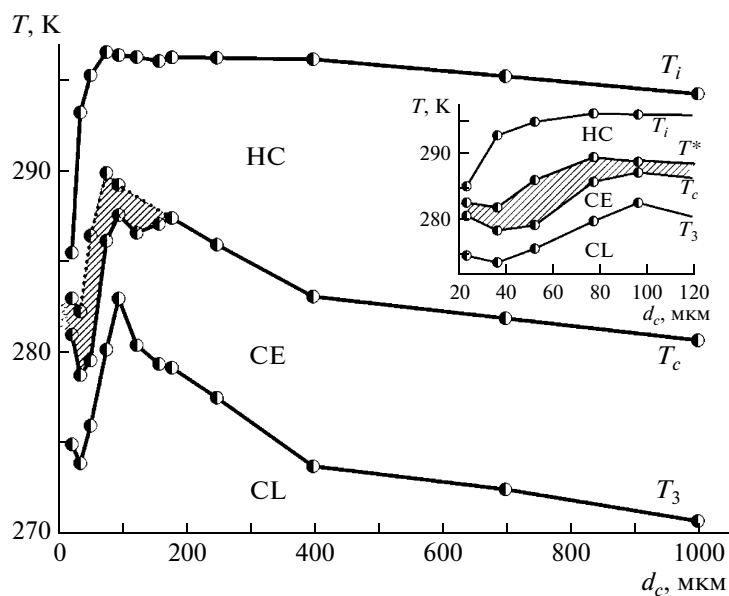
мация в эксперименте оказывается существенно меньше “теоретического” значения благодаря релаксации механических напряжений, вызванных либо образованием дислокаций, либо возникновением доменной структуры, а ее знак соответствует возрастанию температуры гипотетического (в отсутствие несоразмерной фазы) перехода исходная—сегнетоэлектрическая фаза, т.е. расширению сегнетофазы за счет соответствующего возрастания  $T_c$ .

Рассмотрим влияние изменения толщины  $d_c$  вдоль оси несоразмерной модуляции кристалла  $[N(CH_3)_4]_2Zn_{0.58}Cu_{0.42}Cl_4$  на температуры фазовых переходов.

На рис. 4 приведена температурная зависимость  $\delta(\Delta n_c)$  для кристалла  $[N(CH_3)_4]_2Zn_{0.58}Cu_{0.42}Cl_4$  при разных значениях толщины  $d_c$  образца. При уменьшении толщины образца ( $d_c < 400$  мкм) наблюдается повышение температур фазовых переходов  $T_c$  и  $T_3$ , причем зависимости  $T_3 \sim f(d)$ ,  $T_c \sim f(d)$  являются нелинейными. Что касается фазового перехода при  $T_i$ , то при уменьшении толщины ( $d_c$ ) кристалла вплоть до  $d_c \approx 80$  мкм изменение величины  $T_i$  находится в пределах точности измерений температуры. Повышение температур фазовых переходов  $T_c$  и  $T_3$  вследствие изменения толщины  $d_c$ , как и при изменении толщины кристалла вдоль оси спонтанной поляризации, может быть объяснено деформацией несоответствия (разницей КТР кристалла и клея). Дальнейшее

уменьшение толщины  $d_c < 80$  мкм кристалла сопровождается понижением температур фазовых переходов ( $\Delta T_i$ ,  $\Delta T_c$ ,  $\Delta T_3 \approx 10$  К). В отличие от фазовой диаграммы  $d_a$ ,  $T$  фазовая диаграмма  $d_c$ ,  $T$  (рис. 5) характеризуется понижением температур фазовых переходов при уменьшении толщины кристалла, что может свидетельствовать о проявлении влияния граничных условий на структуру несоразмерной фазы.

В заключение отметим, что результаты исследования влияния толщины микрокристалла на фазовую диаграмму являются полезной дополнительной информацией о фазовых переходах в микрокристаллах с несоразмерной фазой. Механические напряжения в кристалле, возникающие вследствие деформации несоответствия, обусловливают смещение температуры фазовых переходов в высокотемпературную область при уменьшении толщины кристалла  $[N(CH_3)_4]_2Zn_{0.58}Cu_{0.42}Cl_4$ . Изменение толщины кристалла  $[N(CH_3)_4]_2Zn_{0.58}Cu_{0.42}Cl_4$  вдоль оси несоразмерной модуляции также вначале приводит к смещению температур фазовых переходов в высокотемпературную область, но затем наблюдается их уменьшение при  $d < 100$  мкм. Тем не менее остается открытым вопрос о наличии размерного эффекта в микрокристалле в несоразмерной фазе. Как известно, размерный эффект связан с длиной экстраполяции [2], и для наличия его в микрокристаллах с несоразмерной сверхструктурой необходимо, чтобы эта длина со-



**Рис. 5.** Фазовая  $d_c$ ,  $T$ -диаграмма состояния кристалла  $[N(CH_3)_4]_2Zn_{0.58}Cu_{0.42}Cl_4$ , полученная из экспериментальных значений температурного поведения двулучепреломления  $\delta(\Delta n_c)$ .

ставляла несколько ее (несоразмерной сверхструктурой) периодов. Наблюдаемое в эксперименте понижение температуры фазового перехода из исходной в несоразмерную фазу при уменьшении толщины кристалла вдоль оси несоразмерной модуляции можно связать с наличием размерного эффекта, но для этого необходимо провести структурные исследования глубины пространственного искажения амплитуды параметра порядка, обусловленного граничными условиями.

#### СПИСОК ЛИТЕРАТУРЫ

1. Ктиторов С.А., Погорелов Ф.А., Чарная Е.В. // ФТТ. 2009. Т. 51. Вып. 8. С. 1480.
2. Ктиторов С.А., Погорелов Ф.А., Чарная Е.В. // ФТТ. 2003. Т. 45. Вып. 11. С. 2062.
3. Charnay E.V., Ktitorov S.A. // Ferroelectrics. 2003. V. 297. P. 29.
4. Schneider J., Schurrer C., Brunetti A. // Phys. Rev. B. 1996. V. 54. № 5. P. 2972.
5. Fousek J., Petzelt J. // Phys. Status Solidi. A. 1979. V. 55. P. 11.
6. Ivanov N.R., Levanyuk A.P., Minyukov S.A. et al. // J. Phys.: Condens. Matter. 1990. V. 2. P. 5777.
7. Капустяник В., Рудик В., Свеба С.В. и др. // Вісн. Львів. ун-та Сер. фіз. 2008. Вып. 41. С. 49.
8. Tanisaku S., Mashiyama H. // J. Phys. Soc. Jpn. 1980. V. 48. № 1. P. 339.
9. Gesi K., Izumi M. // J. Phys. Soc. Jpn. 1980. V. 48. № 5. P. 1775.
10. Половинко І., Рузак О., Свеба С. и др. // Вісн. Львів. ун-та Сер. фіз. 2002. Вып. 35. С. 48.
11. Свеба С.А., Катеринчук И.Н., Карна И.В. и др. // Кристаллография. 2010. Т. 55. № 2. С. 280.
12. Bziovet M., Almairac R., Saint-Crevoire P. // J. Phys. C: Solid. State Phys. 1987. V. 20. № 9. P. 2635.
13. Kusz J., Pietraszko A., Kucharczyk D. // Phase Transitions. 1992. V. 37. P. 261.
14. Санников Д.Г. // ЖЭТФ. 1989. Т. 96 . Вып. 6. С. 2198.
15. Гладкий В.В., Каллаев С.Н., Кириков В.А. и др. // Кристаллография. 1991. Т. 36. № 2. С. 458.
16. Влох О.Г., Половинко І.І., Свеба С.А. и др. // Укр. физ. журн. 1990. Т. 35. № 4. С. 520.
17. Сиротин Ю.И., Шаскольская М.П. Основы кристаллофизики. М.: Наука, 1979. 640 с.
18. Давитадзе С.Т., Струков Б.А., Высоцкий Д.В., и др. // ФТТ. 2008. Т. 50. Вып. 12. С. 2206.
19. Зубко С.П. // ФТТ. 2010. Т. 52. Вып. 12. С. 2401.
20. Шелег А.У., Науковец А.М. // ФТТ. 2004. Т. 46. Вып. 7. С. 1280.